

# Théorie des ensembles et robotique navale autonome

*Journée Sciences navales - 6/02/2014*

Luc Jaulin

ENSTA Bretagne, LabSTICC, OSM, IHSEV.

<http://www.ensta-bretagne.fr/jaulin/>

# 1 Calcul par intervalles

**Problème.** Soit  $f : \mathbb{R}^n \rightarrow \mathbb{R}$ . Montrer que

$$\forall \mathbf{x} \in \mathbb{R}^n, f(\mathbf{x}) \geq 0.$$

**Exemple.** La fonction

$$f(\mathbf{x}) = x_1 x_2 - (x_1 + x_2) \cos x_2 + \sin x_1 \cdot \sin x_2 + 2$$

est-elle toujours positive pour  $x_1, x_2 \in [-1, 1]$  ?

## Arithmétique des intervalles

$$\begin{aligned} [-1, 3] + [2, 5] &= [1, 8], \\ [-1, 3] \cdot [2, 5] &= [-5, 15], \\ \text{abs}([-7, 1]) &= [0, 7] \end{aligned}$$

L'extension intervalle de

$$\begin{aligned}f(x_1, x_2) &= x_1 \cdot x_2 - (x_1 + x_2) \cdot \cos x_2 \\&\quad + \sin x_1 \cdot \sin x_2 + 2\end{aligned}$$

est

$$\begin{aligned}[f]([x_1], [x_2]) &= [x_1] \cdot [x_2] - ([x_1] + [x_2]) \cdot \cos [x_2] \\&\quad + \sin [x_1] \cdot \sin [x_2] + 2.\end{aligned}$$

## Théorème (Moore, 1970)

$$[f]([x]) \subset \mathbb{R}^+ \Rightarrow \forall x \in [x], f(x) \geq 0.$$

## 2 Calcul ensembliste

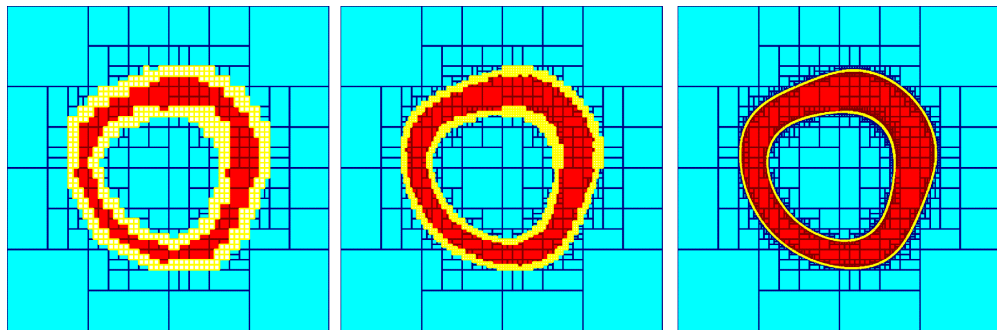
Les sous-ensembles  $\mathbb{X} \subset \mathbb{R}^n$  peuvent être encadrés par des sous pavages :

$$\mathbb{X}^- \subset \mathbb{X} \subset \mathbb{X}^+.$$

grâce au calcul par intervalles.

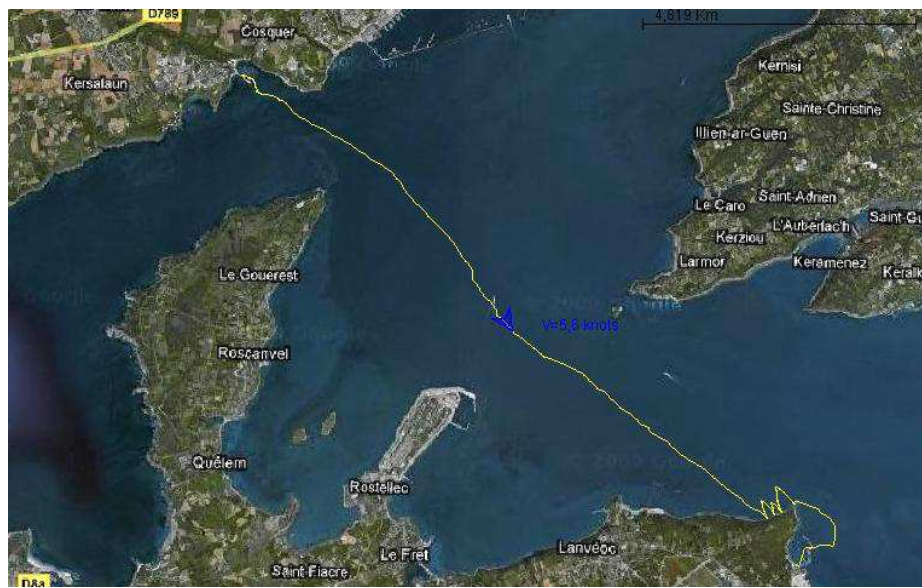
## Exemple.

$$\mathbb{X} = \{(x_1, x_2) \mid x_1^2 + x_2^2 + \sin(x_1 + x_2) \in [4, 9]\}.$$



### **3 Sur la mer**







ERWAN 1 (Ecole Navale)



### **3.1 Vaimos**

Collaboration ENSTA/IFREMER



Vaimos à la WRSC (ENSTA-IFREMER-Ecole Navale).

La dynamique d'un robot est décrite par une équation d'état

$$\dot{\mathbf{x}} = \mathbf{f}(\mathbf{x}, \mathbf{u}).$$

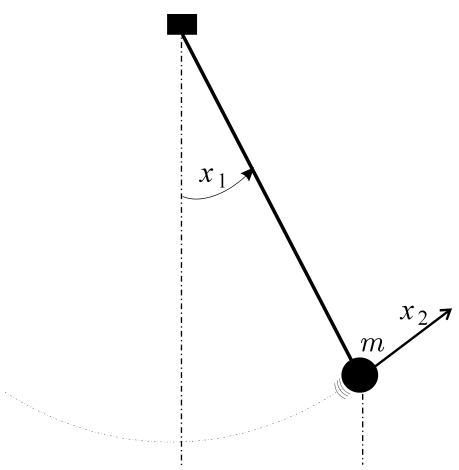
$$\left\{ \begin{array}{l} \dot{x} = v \cos \theta + p_1 a \cos \psi \\ \dot{y} = v \sin \theta + p_1 a \sin \psi \\ \dot{\theta} = \omega \\ \dot{v} = \frac{f_s \sin \delta_s - f_r \sin u_1 - p_2 v^2}{p_9} \\ \dot{\omega} = \frac{f_s(p_6 - p_7 \cos \delta_s) - p_8 f_r \cos u_1 - p_3 \omega}{p_{10}} \\ f_s = p_4 a \sin (\theta - \psi + \delta_s) \\ f_r = p_5 v \sin u_1 \\ \sigma = \cos(\theta - \psi) + \cos(u_2) \\ \delta_s = \begin{cases} \pi - \theta + \psi & \text{si } \sigma \leq 0 \\ sign(\sin(\theta - \psi)) \cdot u_2 & \text{sinon.} \end{cases} \end{array} \right.$$

Après insertion d'un régulateur  $\mathbf{u} = \mathbf{g}(\mathbf{x})$ , le système

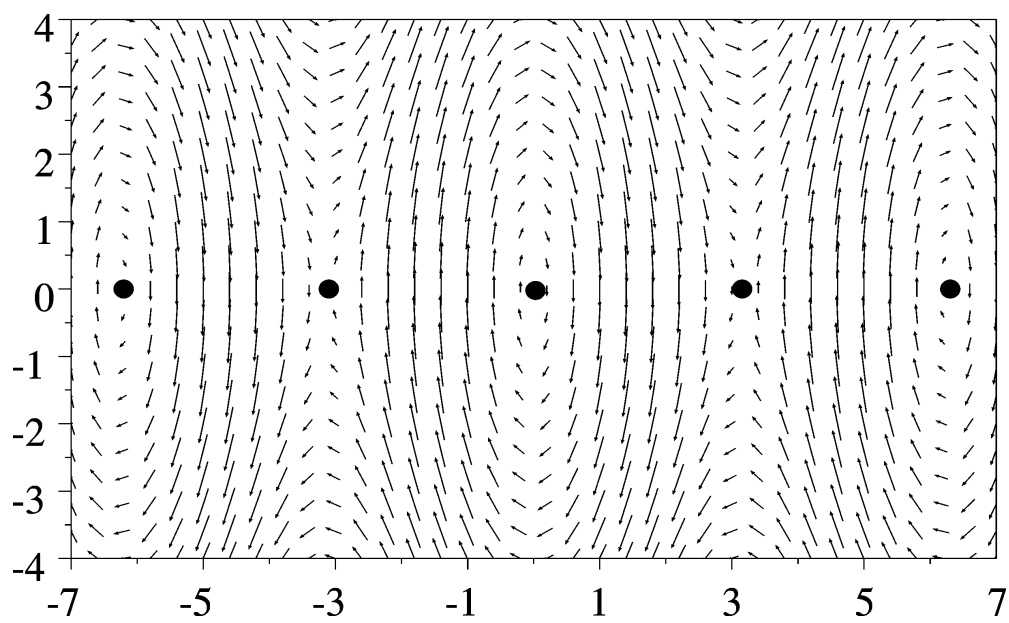
$$\dot{\mathbf{x}} = \mathbf{f}(\mathbf{x}, \mathbf{u})$$

devient un robot

$$\dot{\mathbf{x}} = \mathbf{f}(\mathbf{x}).$$



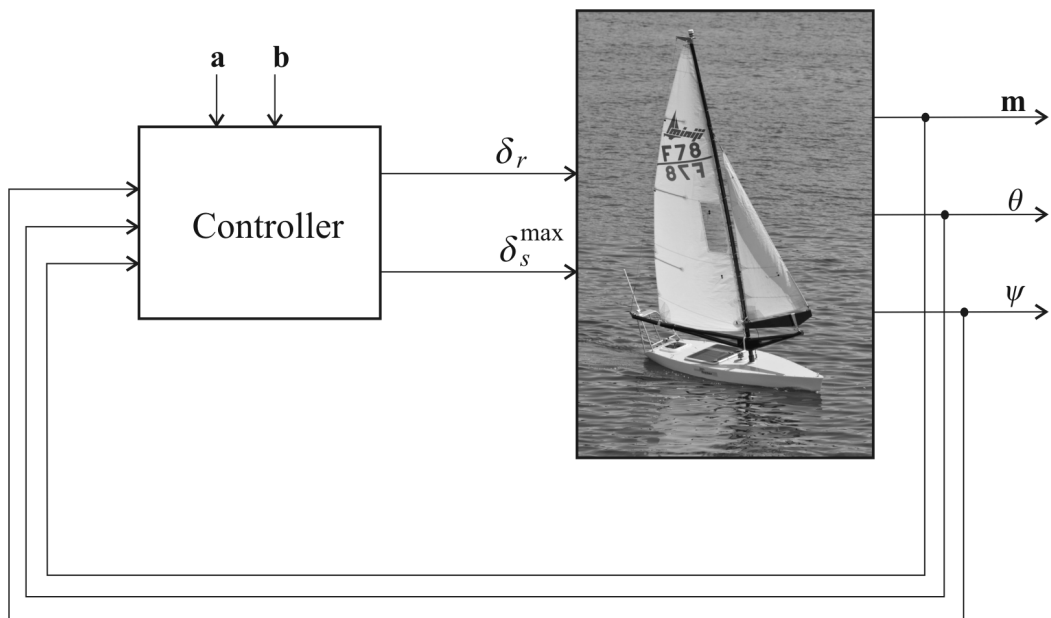
$$\begin{cases} \dot{x}_1 = x_2 \\ \dot{x}_2 = -\sin x_1. \end{cases} \quad \text{c'est-à-dire . } \dot{\mathbf{x}} = \mathbf{f}(\mathbf{x})$$

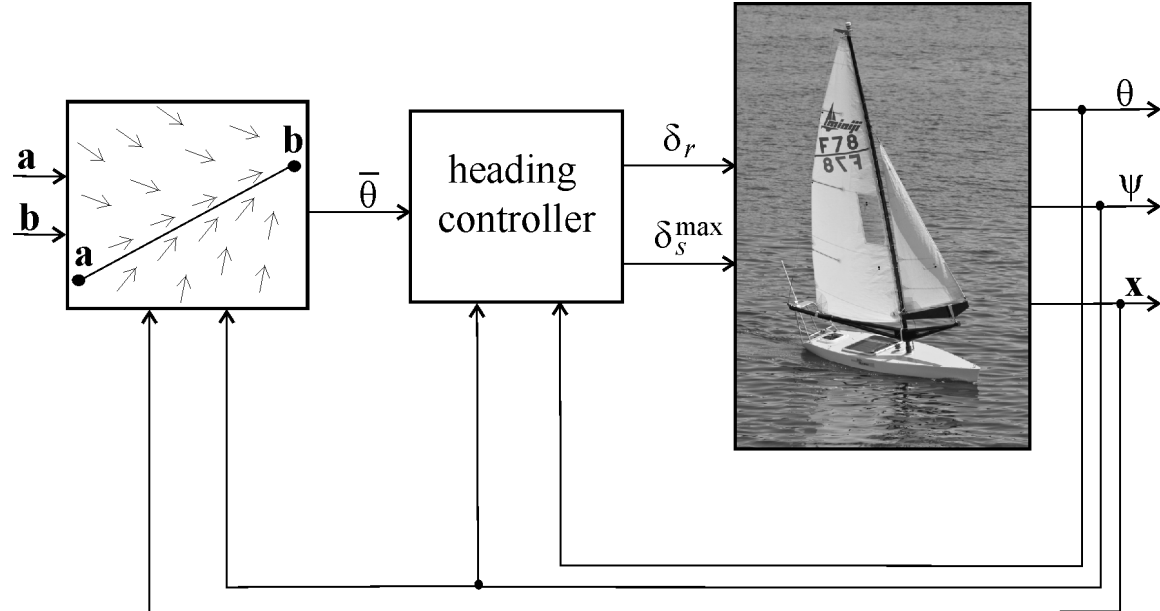


Avec toutes les incertitudes, le robot satisfait une *inclusion différentielle*

$$\dot{\mathbf{x}} \in \mathbf{F}(\mathbf{x})$$

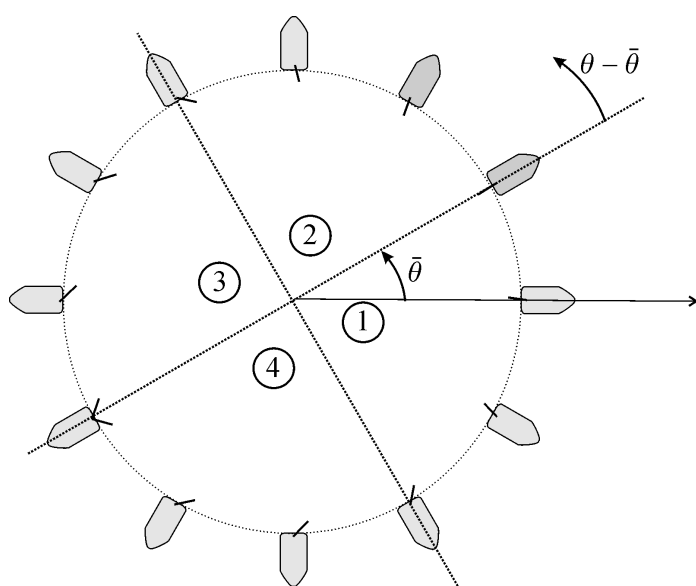
## 3.2 Suivi de ligne



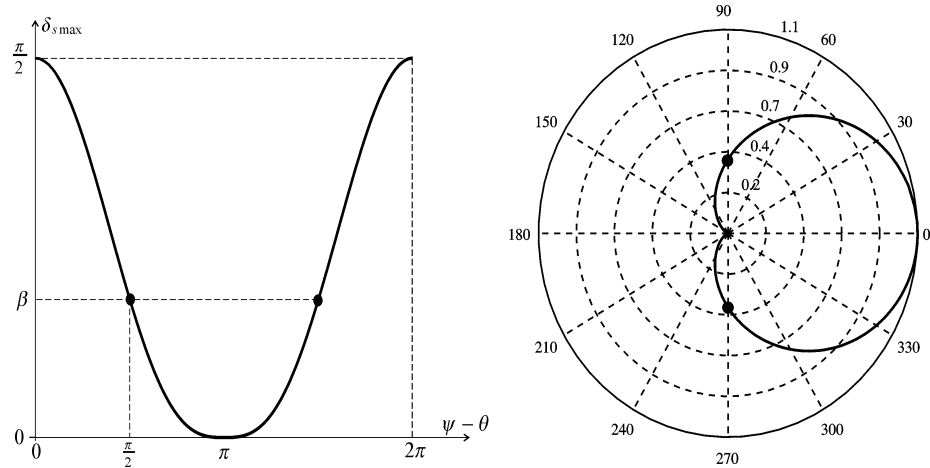


## Régulation en cap

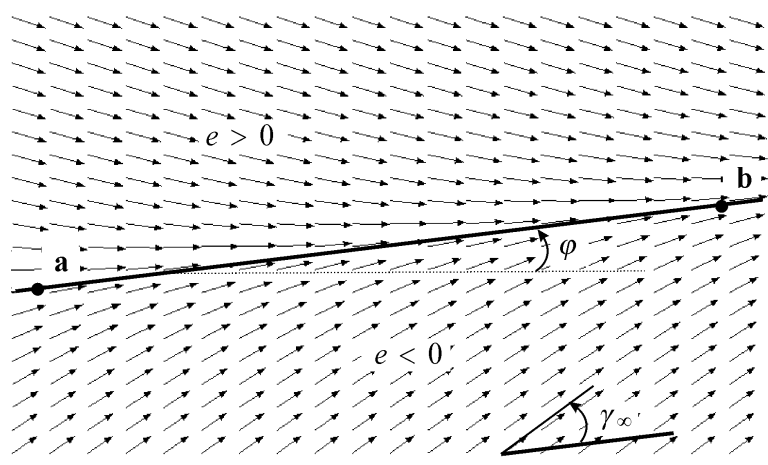
$$\begin{cases} \delta_r &= \frac{\delta_r^{\max}}{\pi} \cdot \text{atan}(\tan \frac{\theta - \bar{\theta}}{2}) \\ \delta_s^{\max} &= \frac{\pi}{2} \cdot \left( \frac{\cos(\psi - \bar{\theta}) + 1}{2} \right). \end{cases}$$



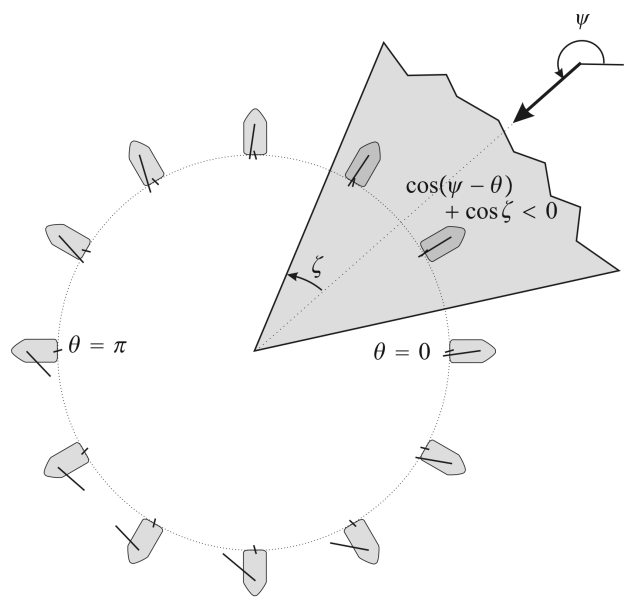
$$\delta_s^{\max} = \frac{\pi}{2} \cdot \left( \frac{\cos(\psi - \bar{\theta}) + 1}{2} \right)$$



### **3.3 Champ de vecteur nominal**



$$\theta^* = \varphi - \frac{1}{2} \cdot \text{atan} \left( \frac{e}{r} \right).$$



## 3.4 Régulateur

**Régulateur** : in:  $\mathbf{m}, \theta, \psi, \mathbf{a}, \mathbf{b}$ ; out:  $\delta_r, \delta_s^{\max}$ ; inout:  $q$

- 1  $e = \frac{\det(\mathbf{b}-\mathbf{a}, \mathbf{m}-\mathbf{a})}{\|\mathbf{b}-\mathbf{a}\|}$
- 2 if  $|e| > \frac{r}{2}$  then  $q = \text{sign}(e)$
- 3  $\bar{\theta} = \text{atan2}(\mathbf{b} - \mathbf{a}) - \frac{1}{2} \cdot \text{atan}\left(\frac{e}{r}\right)$
- 4 if  $\cos(\psi - \bar{\theta}) + \cos \zeta < 0$  then  $\bar{\theta} = \pi + \psi - q \cdot \zeta$ .
- 5  $\delta_r = \frac{\delta_r^{\max}}{\pi} \cdot \text{atan}(\tan \frac{\theta - \bar{\theta}}{2})$
- 6  $\delta_s^{\max} = \frac{\pi}{2} \cdot \left( \frac{\cos(\psi - \bar{\theta}) + 1}{2} \right)$ .

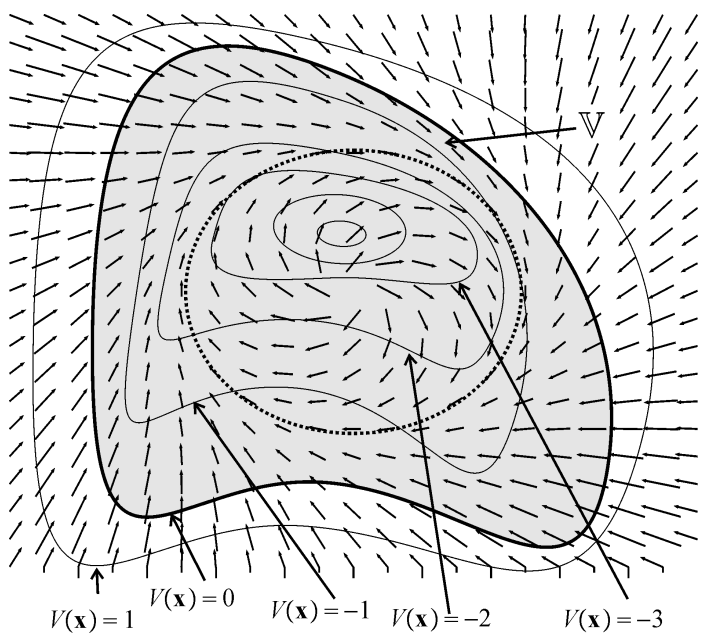
### **3.5 Validation théorique**

Quand le vent est connu, le robot satisfait

$$\dot{\mathbf{x}} = \mathbf{f}(\mathbf{x}).$$

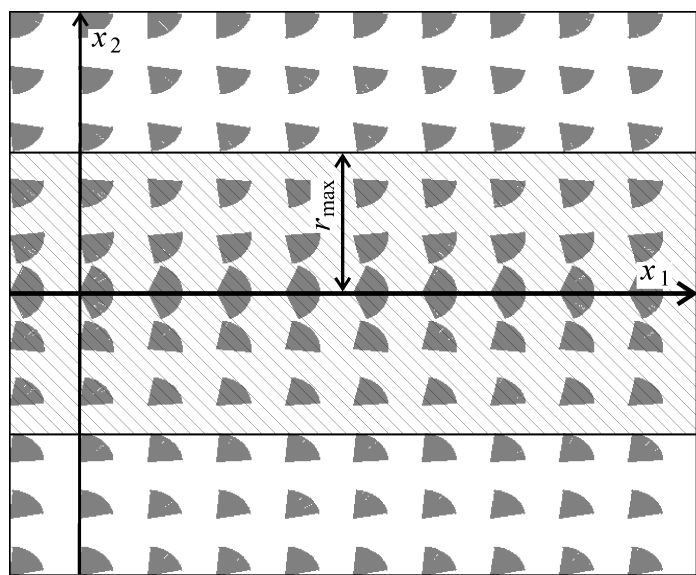
**Définition.** Soit  $V(\mathbf{x}) : \mathbb{R}^n \rightarrow \mathbb{R}$ . Le système est  $V$ -stable si

$$\left( V(\mathbf{x}) \geq 0 \Rightarrow \dot{V}(\mathbf{x}) < 0 \right).$$

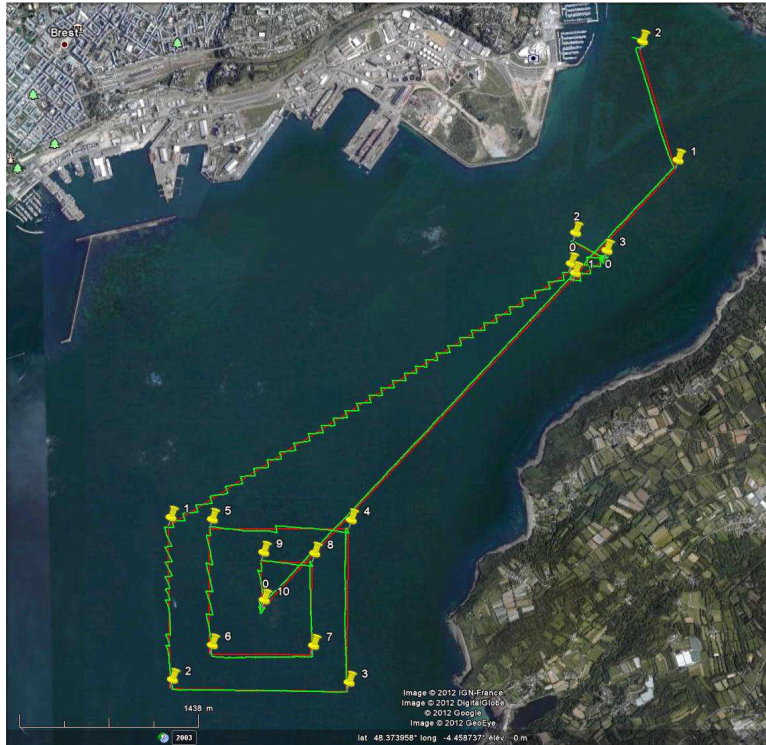


## Théorème.

$$\left\{ \begin{array}{l} \frac{\partial V}{\partial x}(x) \cdot f(x) \geq 0 \\ V(x) \geq 0 \end{array} \right. \text{ impossible } \Leftrightarrow \dot{x} = f(x) \text{ is } V\text{-stable.}$$



## **3.6 Validation expérimentale**



## Rade de Brest

**Brest-Douarnenez.** January 17, 2012, 8am



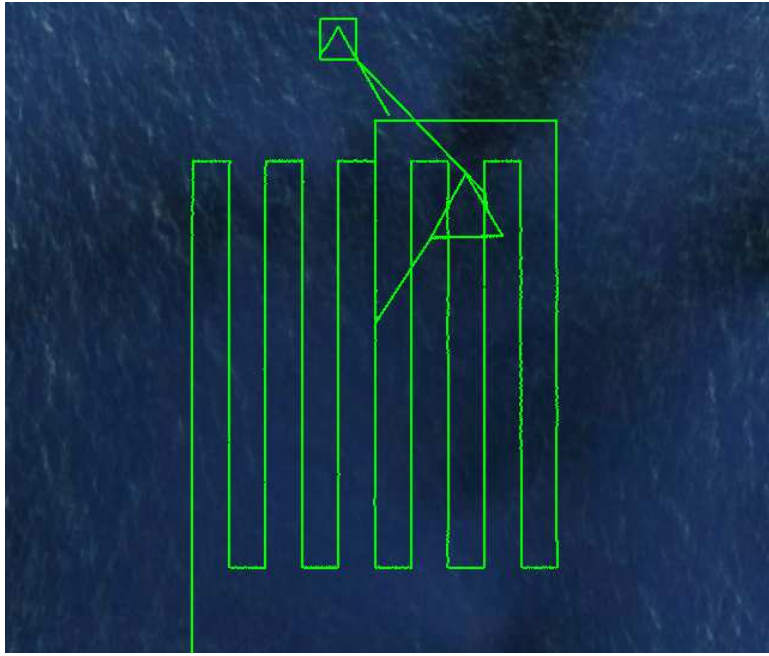












Au milieu de l'Atlantique, 350 km fait par Vaimos en 53h,  
sept. 6-9, 2012.

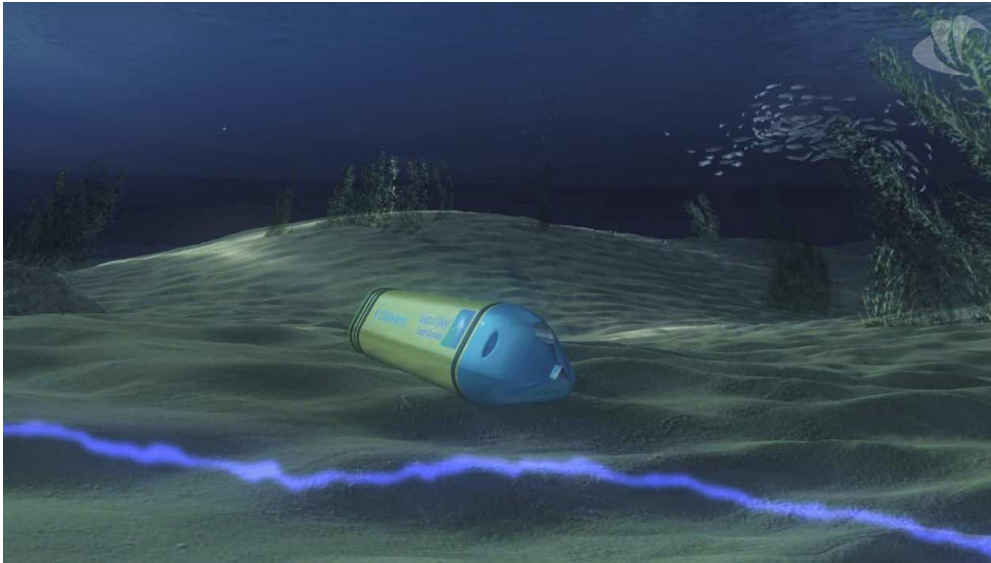
## **Conséquence.**

Il est possible de garantir que le robot restera dans son couloir.

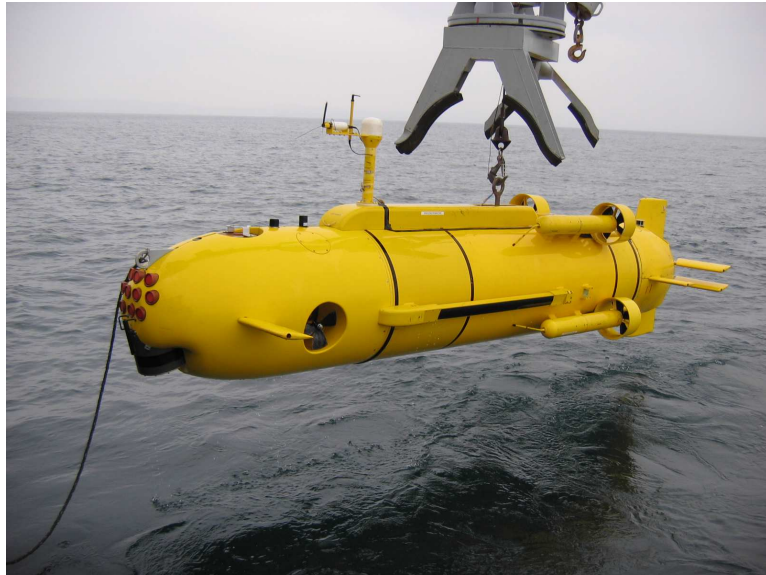
Indispensable pour établir des règles de circulation.

Indispensable pour identifier le responsable en cas d'accident.

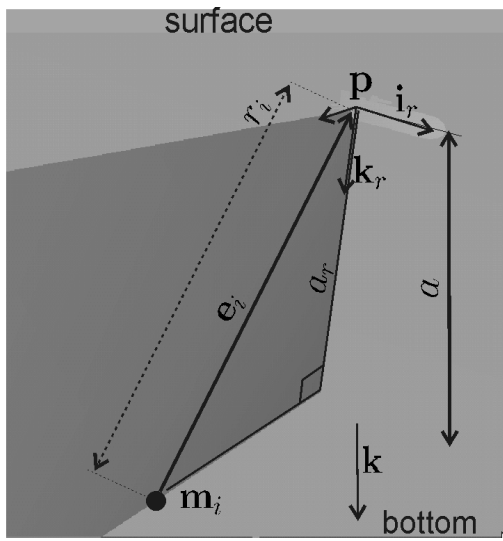
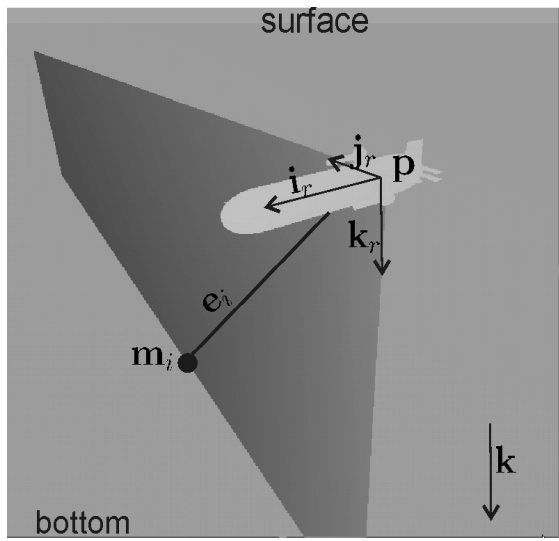
## 4 Sous la mer

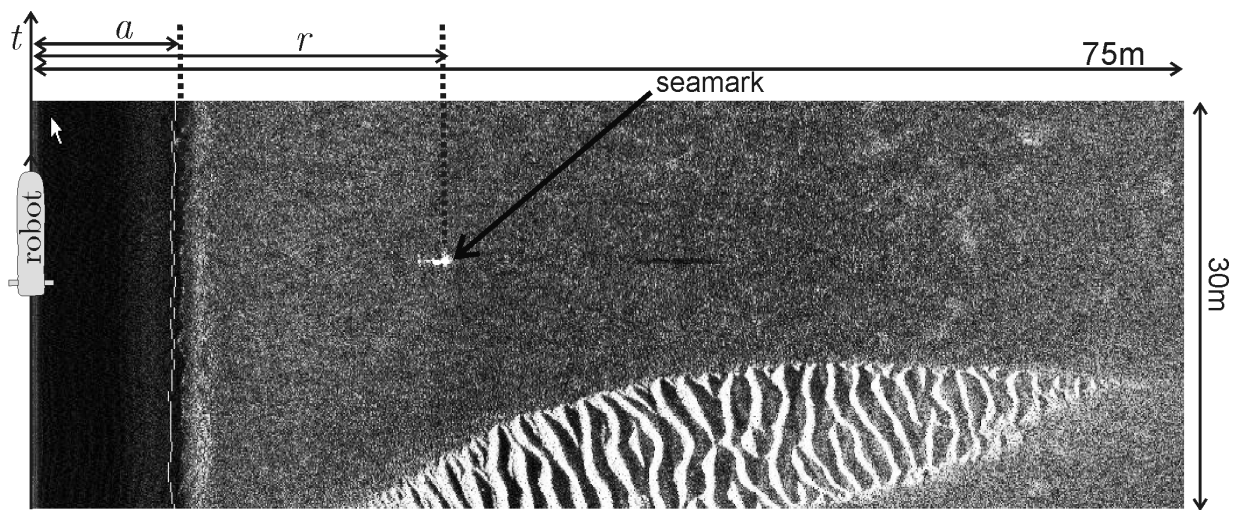


Localisation d'un groupe de robot (avec CGG)

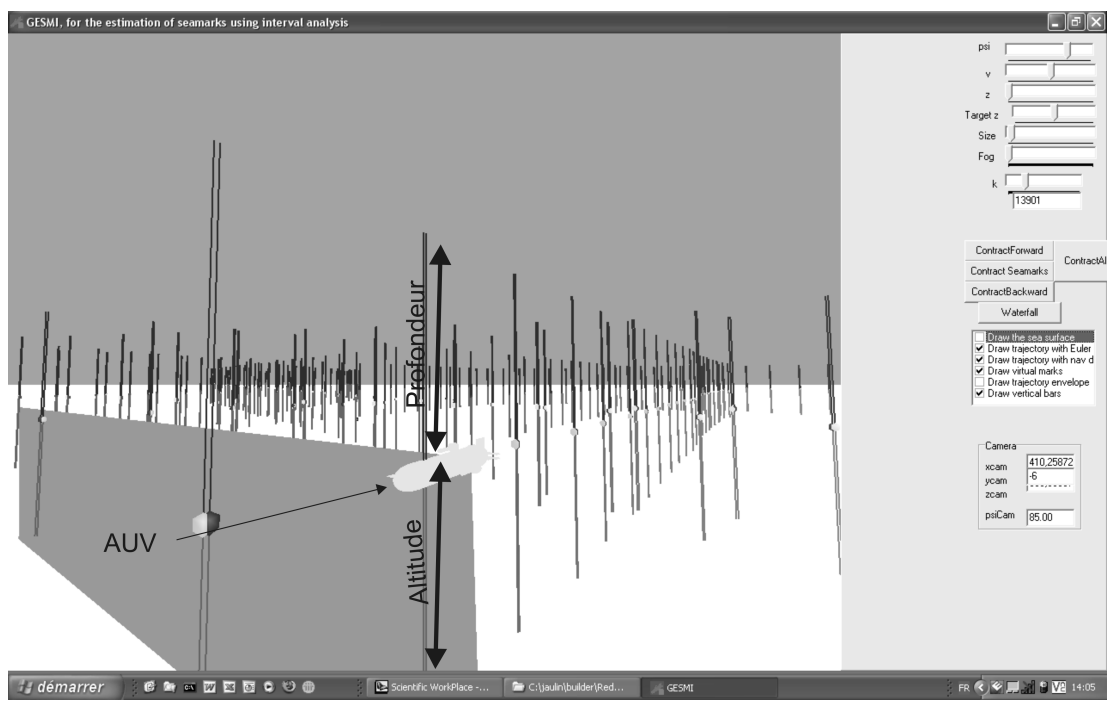


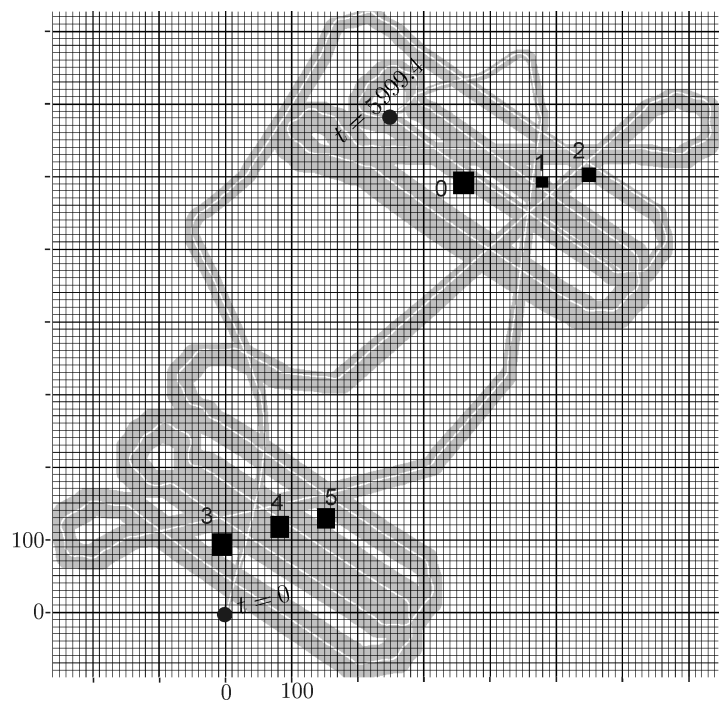
SLAM (avec le GESMA)





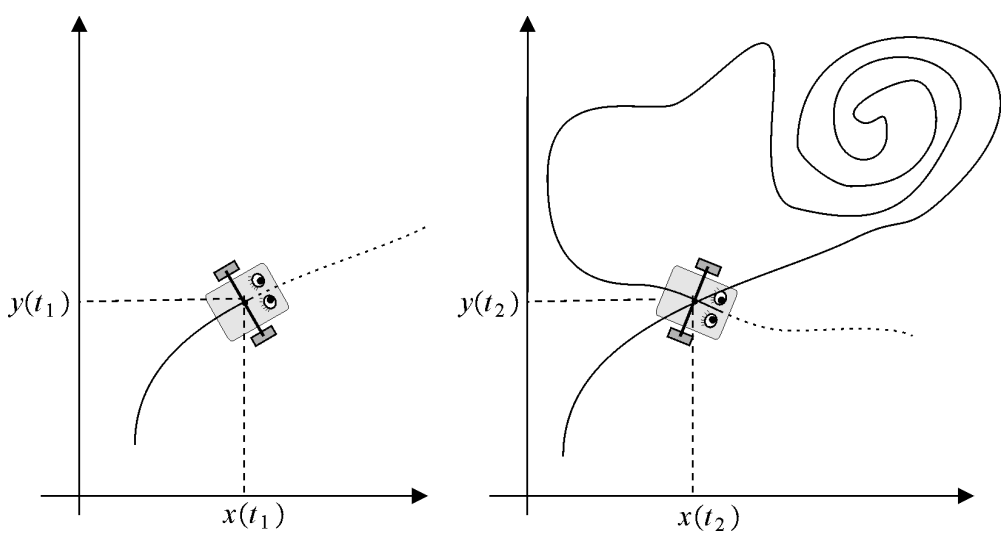
## **4.1 GESMI**



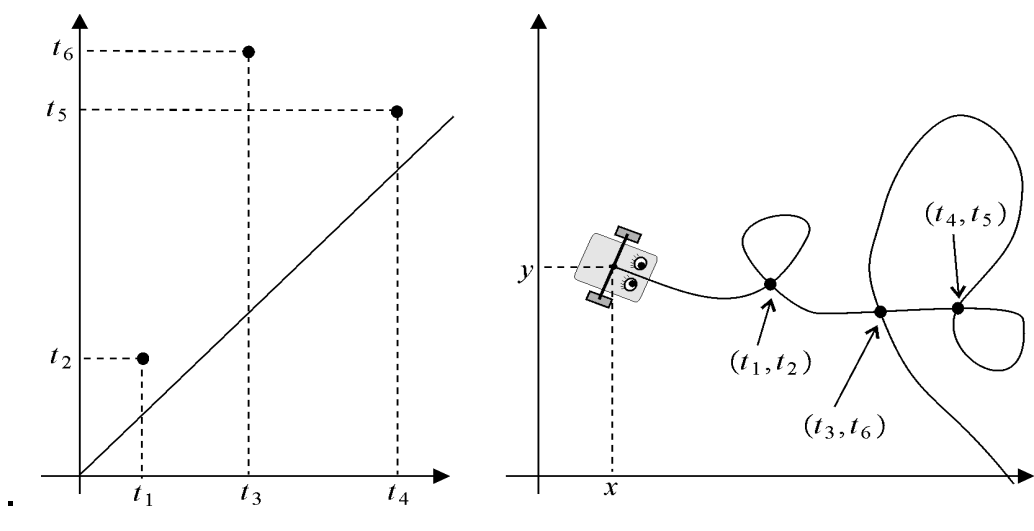


## 4.2 Détection de boucles

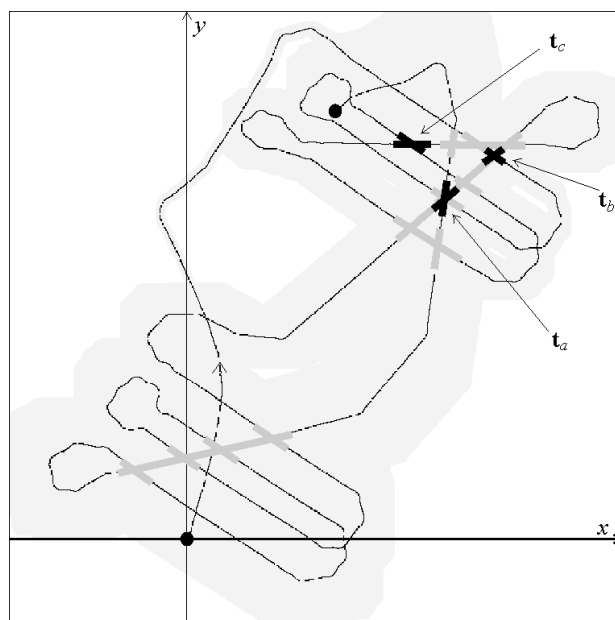
Collaboration ENSTA/Ecole Navale (C. Aubry R. Desmare)



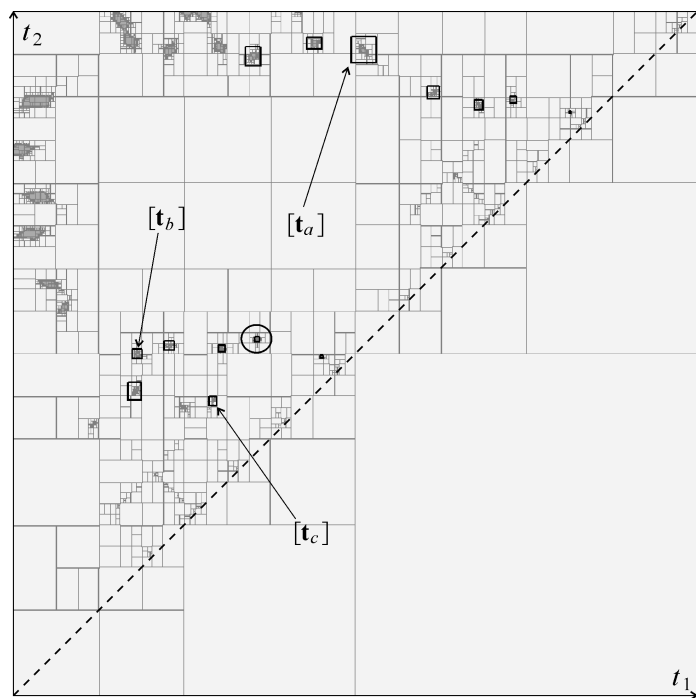
Un robot effectuant une boucle



*t*-plane



Tube enfermant la trajectoire du robot. On devine 28 boucles.



## Références.

- C. Aubry, R. Desmare and L. Jaulin (2013). Loop detection of mobile robots using interval analysis. *Automatica*. vol. 49, Issue 1. pp 463-470
- Jaulin L., M. Kieffer, O. Didrit and E. Walter (2001), Applied Interval Analysis with Examples in Parameter and State Estimation, Robust Control and Robotics, *Springer-Verlag*,
- I. Braems, F. Berthier, L. Jaulin, M. Kieffer and E. Walter (2001). Guaranteed estimation of electrochemical parameters by set inversion using interval analysis, *Journal of Electroanalytical Chemistry*.
- L. Jaulin (2009), A nonlinear set-membership approach for the localization and map building of an underwater robot using interval constraint propagation, *IEEE Transactions on Robotics*.
- L. Jaulin and F. Le Bars (2012). An interval approach for stability analysis; Application to sailboat robotics. *IEEE Transaction on Robotics*.
- G. Chabert and L. Jaulin (2009), Contractor programming.

## *Artificial Intelligence.*

- L. Jaulin, F. Le Bars, B. Clément, Y. Gallou, O. Ménage, O. Reynet, J. Sliwka and B. Zerr (2012). Suivi de route pour un robot voilier, *CIFA 2012*.
- F. Le Bars, J. Sliwka, O. Reynet and L. Jaulin (2012). State estimation with fleeting data, *Automatica*.
- L. Jaulin (2004) Modélisation et commande d'un bateau à voile, *CIFA2004*.
- L. Jaulin (2011). Set-membership localization with probabilistic errors, *Robotics and Autonomous Systems*.
- L. Jaulin (2011). Range-only SLAM with occupancy maps; A set-membership approach. *IEEE Transactions on Robotics*.